

669.12: 669.15'782-194: 548.735: 620.186.5: 621.771.016.3  
**(185)  $\alpha$ -Fe合金の再結晶集合組織における再結晶温度・速度の影響**

(三次元表示法による集合組織解析-III)

(株)神戸製鋼所 浅田基礎研究所 小川陸郎 柚島登明  
福嶽淑郎

### 1. 緒言

$\alpha$ -Feの冷延・再結晶集合組織の形成過程を三次元表示法を用いて解析した結果を報告してきた。再結晶集合組織は、回復過程や粒成長による集合組織変化を極力さけることを目的として、電気炉を用いた急速加熱によるものであり、また再結晶完了直後についての結果であった。本報では前報にひきつづいて純鉄とFe-Si合金を用いて、再結晶条件(再結晶温度、再結晶速度)を変化させたときに発達する再結晶集合組織について報告する。<sup>1)(2)</sup>

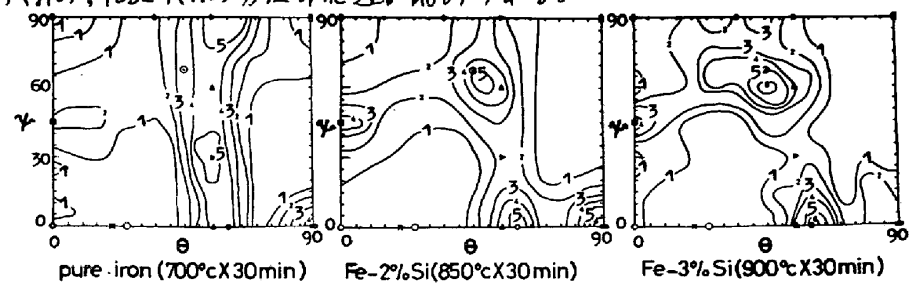
### 2. 試料および実験方法

前報に用いた純鉄とFe-Si合金冷延板のうち再結晶集合組織の変化の大きかった75%、85%冷延板を用いた。再結晶焼鉄は、電気炉を用いてArガス雰囲気中で行い、再結晶温度、再結晶速度(急熱と $50^{\circ}\text{C}/\text{hr}$ の等速加熱)を変えて行い、焼鉄板の板厚中心部の集合組織を測定し、Roeの手法による三次元表示法により解析した。

### 3. 実験結果

図1に75%冷延板を再結晶完了温度より高い温度で急速加熱した例を示す。再結晶完了直後の集合組織に比較して、 $\{110\}<001>$ 方位の増加する傾向が認められる。 $2\% \text{Si}$ ,  $3\% \text{Si}$ 合金の再結晶完了直後の集合組織にみられ、in situ再結晶したと考えられる $\{113\}<110>$ ,  $\{112\}<110>$ 方位を含むRD//<110>方位群は顕著に減少し、 $\{001\}<100>$ 方位や、 $\{554\}<225>$ 方位と< $\text{RD } 60^{\circ} // <110>$ 系列中のn $\{322\}<296>$ 方位近傍方位の増加が認められる。3%Si合金の85%冷延試料では、 $\{001\}<100>$ 方位ではなく、 $\{001\}<100>$ 方位から $\{001\}<110>$ 方位へ $15^{\circ}$ 回転した方位に増加が認められる。これらの方方位の発達は粒成長による影響が大きい。

図2に75%冷延板を $50^{\circ}\text{C}/\text{hr}$ の等速加熱し $750^{\circ}\text{C} \times 60\text{ min}$ の焼鉄を行った例を示す。加工組織の回復の影響は $\{110\}<001>$ 方位に著しい。 $3\% \text{Si}$ 合金を除いたほとんどの試料で、 $\{110\}<001>$ 方位の発達が少なくなる。Siを添加することにより存在する傾向を示すRD//<110>方位群はその傾向をさらに強める。と< $\text{RD } 3\% \text{Si}$ 合金では $\{113\}<110>$ ,  $\{332\}<113>$ 方位の発達が認められる。



- 1)柚島・小川・福嶽: 第87回講演大会(1974) S190  
 2)小川・柚島・福嶽: 第90回講演大会(1975) S769

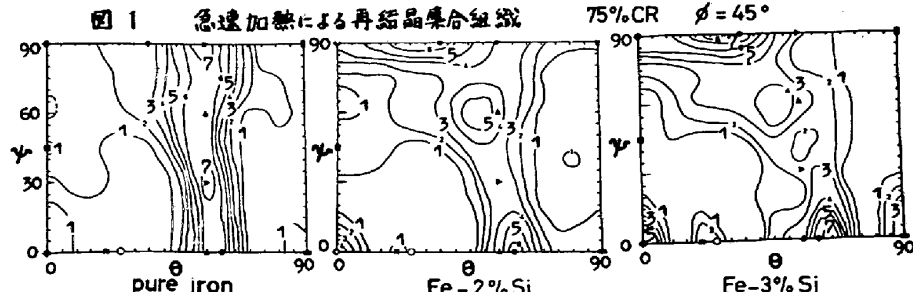


図2 50°C/hr の等速加熱焼鉄による再結晶集合組織  
 75%CR ( $50^{\circ}\text{C}/\text{hr} \rightarrow 750^{\circ}\text{C} \times 1\text{hr}$ )  $\phi = 45^{\circ}$